

Наука – виробництву

УДК 622.691.4

РОЗРАХУНОК БУГЕЛЬНОГО З'ЄДНАННЯ МОБІЛЬНИХ КАМЕР ЗАПУСКУ І ПРИЙОМУ ОЧИСНИХ ПРИСТРОЇВ ГАЗОПРОВОДІВ

В.П.Гончар, Я.В.Дорошенко, В.І.Холодов, Т.І.Смоляк

УкрНДГаз, 61125, м. Харків, Червономіцька набережна, 20, тел. (0572) 509600, 200229,
e-mail: itl1266@online.kharkov.ua

ДК "Укртрансгаз", 01001, м. Київ, Кловський узвіз, 9/2, тел. (044) 4612041,
e-mail: utg@ugp.viaduk.net

Предложена методика расчета коэффициента запаса прочности винтов, напряжений смятия и среза бугельного соединения мобильных камер запуска и приема очистных устройств.

Мобільні камери призначенні для забезпечення пропуску поточних пристройів через газопроводи, які не були обладнані при будівництві стаціонарними камерами, в тому числі газопроводи-відводи та газопроводи з нерівнопрохідною арматурою. Це здебільшого газопроводи, що були побудовані понад 20 років тому. В газотранспортній системі України таких газопроводів налічується приблизно 20% при загальній довжині мережі 35,2 тис. км.

Мобільні камери забезпечують надійність і швидкість під'єднання пристрою до газопроводу та безперервність очистки або діагностики газопроводу. Камера запуску складається з таких основних частин: корпус, вузол стикування, піддон, візок. Одним торцем корпус приварюється до вузла стикування. Другий торець закривається кінцевими затвором. Кінцевий затвор приєднується за допомогою бугельного з'єднання. Бугельне з'єднання складається з двох секцій, які стягуються гвинтами. Секції стаціонарного бугельного з'єднання спираються на колеса.

Надійність роботи мобільних камер залежить від працездатності бугельного з'єднання, а саме: напружені розтягу гвинтів, напружені змінання і зрізу бугельного з'єднання.

Розрахункова схема бугельного з'єднання зображена на рисунку.

$$\vec{N}_1 = -\vec{N}_2, \quad (1)$$

$$\vec{f}_1 = -\vec{f}_2, \quad (2)$$

Proposed is the method of evaluating screw's safety factor and bearing and shearing stresses at hoop connections of mobile chambers for launching and intake of cleaning devices.

$$|\vec{N}_1| = |\vec{N}_3|, \quad (3)$$

$$|\vec{f}_1| = |\vec{f}_3|. \quad (4)$$

Умова рівноваги бугеля у вигляді суми проекцій на вісь у всіх сил, що діють на бугель,

$$\sum N_{1y} + \sum N_{3y} - (\sum f_{1y} + \sum f_{3y}) = F, \quad (5)$$

де $\sum N_{1y}$ – проекція на вісь у суми питомих реакцій N_1 ;

інші доданки розшифровуються аналогічно першому.

З врахуванням (3) і (4)

$$2\sum N_{1y} - 2\sum f_{1y} = F. \quad (6)$$

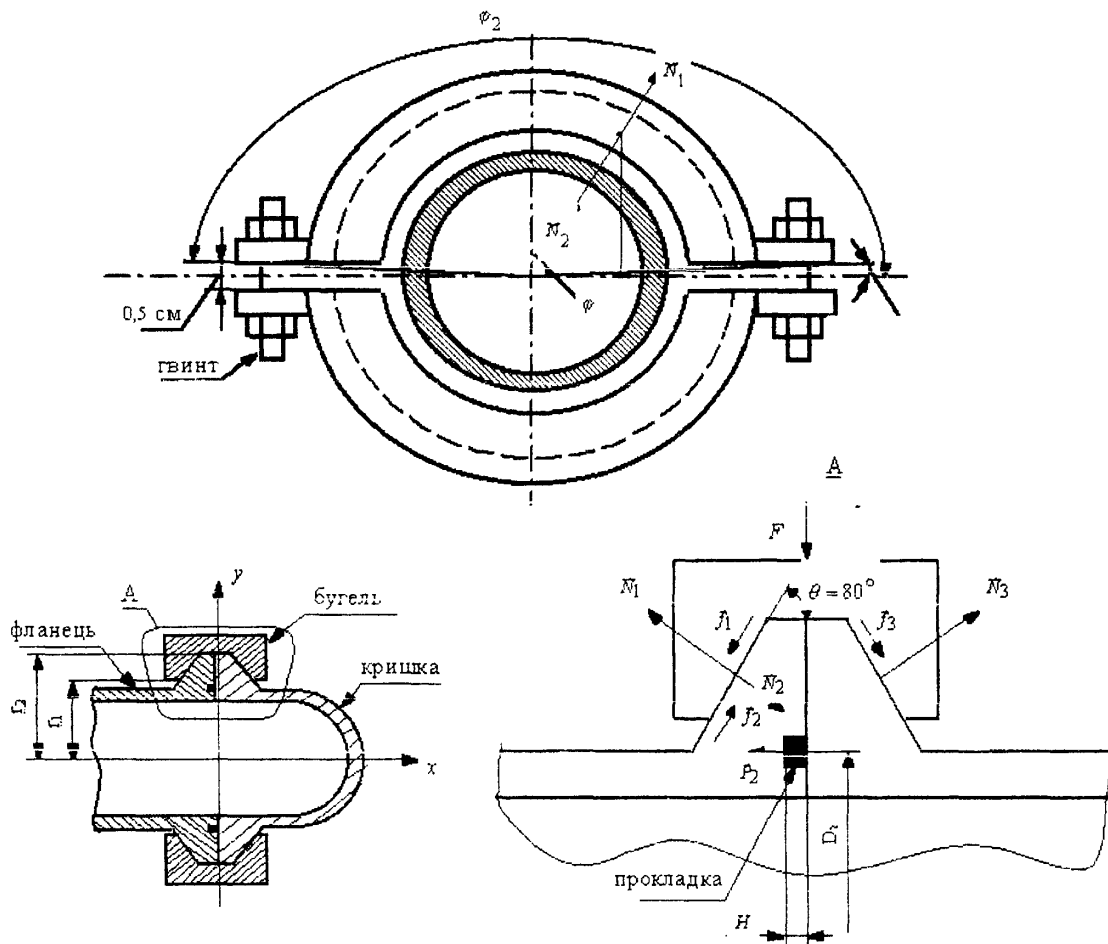
Умова рівноваги фланця у вигляді суми проекцій на вісь x всіх сил, що діють на фланець,

$$2\sum N_{2x} + 2\sum f_{2x} = P_2 \pi D_2 + \frac{\pi D_2^2}{4} P_{rob}, \quad (7)$$

де: D_2 – середній діаметр контактної площини прокладки, м;

P_{rob} – тиск газу в корпусі, Па.

Проекції питомих сил і реакцій, взятих у довільній точці на місці контакту бугеля з фланцем на осі x і y ,



\vec{N}_1 – питома реакція, що діє на бугель з боку фланця; \vec{N}_2 – питома реакція, що діє на фланець з боку бугеля; \vec{P}_2 – питома реакція, що діє на фланець з боку стисненої прокладки; \vec{N}_3 – питома реакція, що діє на бугель з боку кришки; \vec{f}_1 – питома сила тертя бугеля об фланець; \vec{f}_2 – питома сила тертя фланця об бугель; \vec{f}_3 – питома сила тертя бугеля об кришку

Розрахункова схема бугельного з'єднання

$$N_{1y} = N_1 \cos \theta \sin \varphi, \quad (8)$$

$$f_{1y} = -f_1 \sin \theta \sin \varphi, \quad (9)$$

$$N_{2x} = N_2 \sin \theta, \quad (10)$$

$$f_{2x} = f_2 \cos \theta. \quad (11)$$

Перейдемо в рівняннях (6) і (7) до інтегрального обчислення

$$2 \int_{\varphi_1}^{\varphi_2} \int_{r_1}^{r_2} N_{1y} r d\varphi dr - 2 \int_{\varphi_1}^{\varphi_2} \int_{r_1}^{r_2} f_{1y} r d\varphi dr = F, \quad (12)$$

$$2 \int_{\varphi_1}^{\varphi_2} \int_{r_1}^{r_2} N_{2x} r d\varphi dr + 2 \int_{\varphi_1}^{\varphi_2} \int_{r_1}^{r_2} f_{2x} r d\varphi dr = \\ = P_2 \pi D_2 + \frac{\pi D_2^2}{4} P_{prob}. \quad (13)$$

У формулах (12) і (13) межі інтегрування: кут φ , що змінюється в межах від φ_1 до φ_2 , і радіус r , що змінюється від r_1 до r_2 , представлений на рисунку.

Підставляючи значення (8)–(11) в рівняння (12) і (13), одержимо

$$2 \int_{\varphi_1}^{\varphi_2} \int_{r_1}^{r_2} N_1 r \cos \theta \sin \varphi d\varphi dr - \\ - 2 \int_{\varphi_1}^{\varphi_2} \int_{r_1}^{r_2} f_1 r \sin \theta \sin \varphi d\varphi dr = F, \quad (14)$$

$$2 \int_{\varphi_1}^{\varphi_2} \int_{r_1}^{r_2} N_2 r \sin \theta d\varphi dr + 2 \int_{\varphi_1}^{\varphi_2} \int_{r_1}^{r_2} f_2 r \cos \theta d\varphi dr = \\ = P_2 \pi D_2 + \frac{\pi D_2^2}{4} P_{prob}. \quad (15)$$

Проведемо інтегрування

$$2N_1 \cos \theta (\cos \varphi_1 - \cos \varphi_2) \frac{r_2^2 - r_1^2}{2} - \quad (16)$$

$$-2f_1 \sin \theta (\cos \varphi_1 - \cos \varphi_2) \frac{r_2^2 - r_1^2}{2} = F,$$

$$2N_2 \sin \theta (\varphi_2 - \varphi_1) \frac{r_2^2 - r_1^2}{2} + 2f_2 \cos \theta \times \quad (17)$$

$$\times (\varphi_2 - \varphi_1) \frac{r_2^2 - r_1^2}{2} = P_2 \pi D_2 + \frac{\pi D_2^2}{4} P_{\text{роб}}$$

з урахуванням

$$f = f_1 = f_2 = k N_1 = k N_2 = k N, \quad (18)$$

де k – коефіцієнт тертя сталі об сталь без змащення.

Спростимо вирази (16), (17)

$$N(\cos \varphi_1 - \cos \varphi_2)(r_2^2 - r_1^2) \times \quad (19)$$

$$\times (\cos \theta - k \sin \theta) = F,$$

$$N(\varphi_2 - \varphi_1)(r_2^2 - r_1^2)(\sin \theta + k \cos \theta) = \quad (20)$$

$$= P_2 \pi D_2 + \frac{\pi D_2^2}{4} P_{\text{роб}}.$$

Із системи рівнянь (19) і (20) знаходимо F

$$F = \frac{\left(P_2 \pi D_2 + \frac{\pi D_2^2}{4} P_{\text{роб}} \right)}{(\varphi_2 - \varphi_1)} \times \quad (21)$$

$$\times \frac{(\cos \varphi_1 - \cos \varphi_2)(\cos \theta - k \sin \theta)}{(\sin \theta + k \cos \theta)}.$$

P_2 у виразі (21) залежить від ε – відносної деформації стиску прокладки

$$\varepsilon = \frac{d - H}{d}, \quad (22)$$

де: d – діаметр перерізу прокладки, м;

H – глибина канавки під прокладку у фланці, м.

Значення P_2 для кільця круглого перерізу знаходиться за графіком залежності P_2 від ε [1]. Напруження розтягу у гвинті

$$\sigma = \frac{4 \cdot F}{Z \pi d_1^2}, \quad (23)$$

де: Z – кількість гвинтів;

d_1 – внутрішній діаметр різьби гвинта М39, м.

Запас міцності

$$n = \frac{\sigma_T}{\sigma}, \quad (24)$$

де σ_T – межа текучості для матеріалу гвинта – сталь 20, [2].

В камерах запуску та прийому є по два бугельних з'єднання: D_y 700 і D_y 500 мм. В цих з'єднаннях застосовуються однакові гвинти М39. Напруження розтягу σ , яке залежить від D_y – середнього діаметра контактної площини прокладки – більше в бугельному з'єднанні D_y 700, а тому необхідно розраховувати гвинт D_y 700. Розрахунок гвинта бугельного з'єднання D_y 500 мм не потрібний.

Для перевірки бугельного з'єднання на змінання необхідно визначити напруження змінання, яке обчислюється за формулою

$$\sigma_{3M} = \frac{2 \sum N_{2x} + 2 \sum f_{2x}}{F_{3M}}. \quad (25)$$

З врахуванням рівняння (7) отримуємо

$$\sigma_{3M} = \frac{P_2 \pi D_2 + \frac{\pi D_2^2}{4} P_{\text{роб}}}{F_{3M}}, \quad (26)$$

де F_{3M} – площа змінання

$$F_{3M} = \pi (r_2^2 - r_1^2). \quad (27)$$

Умова міцності

$$\sigma_{3M} < [\sigma_{3M}], \quad (28)$$

де $[\sigma_{3M}]$ – допустиме напруження змінання матеріалу бугеля, фланця і кришки – сталь 20 [2].

Фланець і кришка бугельного з'єднання мають по два зубці.

Внаслідок неточностей при виготовленні навантаження від напруження зрізу може сприймати один з двох зубців. За запас міцності приймемо, що навантаження сприймає більш тонкий зубець біля торця фланця (кришки).

Площа зрізу

$$F_{3p} = 2 \pi r_1 b, \quad (29)$$

де b – товщина основи зубця, м.

Напруження зрізу

$$\tau_{3p} = \frac{2 \sum N_{2x} + 2 \sum f_{2x}}{F_{3p}}. \quad (30)$$

З врахуванням рівняння (7) отримуємо

$$\tau_{3p} = \frac{P_2 \pi D_2 + \frac{\pi D_2^2}{4} P_{\text{роб}}}{F_{3p}}. \quad (31)$$

Умова міцності

$$\tau_{3p} < [\tau_{3p}], \quad (32)$$

де $[\tau_{3p}]$ – допустиме напруження зрізу матеріалу фланця і кришки – сталь 20 [2].

Таким чином, використовуючи наведену вище методику, можна провести розрахунки запасу міцності гвинтів, напружень змінання та зрізу бугельного з'єднання мобільних камер запуску та прийому очисних пристрій.

Література

1. Голубев А. И., Кондаков Л. А. Уплотнения и уплотнительная техника: Справочник. – М.: Машиностроение, 1986.

2. Анульев В. И. Справочник конструктора машиностроителя. – М.: Машиностроение. – Т.1. – 1982.

УДК 621.791

РОЗРОБКА ПРАКТИЧНИХ РЕКОМЕНДАЦІЙ ЩОДО ПІДВИЩЕННЯ ТЕХНОЛОГІЧНОЇ МІЦНОСТІ ПРОМИСЛОВИХ ТРУБОПРОВОДІВ

В.Ю. Чернов, Л.С.Шлапак

IФНТУНГ, 76019, м. Івано-Франківськ, бул. Карпатська, 15, тел. (03422)
e-mail: public@ifdtung.if.ua

Розроблені науково обґрунтовані практичні рекомендації для підвищення технологіческої прочності промислових трубопроводів, состоящі в виборі оптимального технологіческого варіанта сварки з використанням термокінетических діаграм сварюваних сталей, на які які нанесено оптимальні області для обсяження ударної вязкості та кривів охолодження з узначенням досягаемої при цьому твердості, що гарантується отримання необхідних механіческих властивостей сварних з'єднань при відсутності вероятності формування холодних тріщин в широкому інтервалі температур (до -60°C).

Забезпечення довговічності та надійності промислових трубопроводів значною мірою визначається раціональним вибором конструкційних матеріалів спільно з оптимальними варіантами технологічних умов монтажного зварювання.

Відсутність науково обґрунтованих критеріїв вибору технологічних варіантів зварювання при негативних температурах ускладнює розробку оптимальної технології і найчастіше призводить до невідповідного і значного подорожчання монтажу трубопроводів через здійснення додаткових заходів (попереднього і післязварювального нагрівання, теплоізоляції монтажних стиков та ін.).

Аналіз літературних джерел і результати власних досліджень свідчать, що для оцінки технологічного варіанта зварювання і визначення обґрунтованих умов для попередження утворення тріщин варто застосовувати показник $\sigma_{p\min}$, що характеризує опір сталі утворенню холодних тріщин. Параметр $\sigma_{p\min}$ залежить від хімічного складу основного і наплавленого металу, режиму зварювання і температури середовища. Його доцільно використовувати як критерій тріщиностійкості при виборі технології зварювання трубопроводів при низьких температурах повітря. Авторами даної ро-

Developed scientifically proved practical recommendations for increase technological the durabilities of industrial pipelines, which consist in a product to optimum technical variant welding with use thermokinetics of the diagrams welded (cooked) steels, on which put optimum areas for maintenance of shock viscosity and curve coolings with a designation achieved thus of hardness, which guarantee receptions necessary mechanical from service properties welded connections because of absence of probability of formation (education) of cold cracks in a wide interval of temperatures (up to -60°C).

боти встановлено, що технологічний варіант зварювання кореневих швів трубопроводів з низьколегованих сталей звичайної та підвищеної міцності, який забезпечує показник $\sigma_{p\min} > 300 \text{ MPa}$, дає змогу одержати зварні з'єднання з високою тріщиностійкістю (при $[H]_{\text{диф}} < 5 \text{ см}^3/100\text{г}$). Для промислових і магістральних нафтопроводів $\varnothing 114...512 \text{ mm}$ і з товщиною стінки до 16 мм критичне значення $\sigma_{p\min}$ при низьких температурах (до -60°C) дорівнює 360...400 MPa. Крім того, встановлено, що режим підігріву монтажних стиков, який включає появу тріщин при зварюванні в зимовий період, необхідно вибирати, виходячи з тривалості охолодження металу шва від 300 до $100^{\circ}\text{C} - t_{100}^{300}$ (рис. 1). Зі збільшенням тривалості охолодження металу шва від 300 до 100°C підвищується виділення водню в навколошну атмосферу і знижується його вміст у зварному з'єднанні. Так, підвищення температури підігрівання на $60...80^{\circ}\text{C}$ при зварюванні в умовах негативних температур порівняно зі звичайними умовами призводить до однакової тривалості охолодження наплавленого металу в інтервалі від 300 до 100°C , що сприяє зменшенню вмісту водню в зварних швах нижче критичного і запобігає утворенню холодних тріщин.